



HT-MP metamorphism at the Shahindezh Metamorphic Core (SMC) – NW Iran; Mineral chemistry and thermobarometry of metapelites

M. Modjarrad^{1,2}, M. Moazzen¹, M. Moayyed¹

1- Faculty of Natural Sciences, Department of Geology, University of Tabriz, Iran

2- Islamic Azad University, Urmia branch, Iran

E-mail: mmodjarrad@yahoo.com

(Received: 7/1/2007, in revised form: 24/6/2007)

Abstract: On the basis of microstructural evidence it is clear that SMC metapelites have experienced at least two regional (RM1, RM2) and one contact metamorphism (CM). During RM2, several porphyroblasts including kyanite, andalusite, staurolite, cordierite, garnet and fibrous sillimanite have grown in the mica - schists. In order to estimate the PT condition of metamorphism of metapelites, we used cation exchange and multi-equilibrium methods. Temperature of RM2 estimated using, Grt - Bt and Grt - Chl thermometry 650 - 700 °C. Also PT conditions are calculated by THERMOCALC computer program which is based on multi-equilibrium reactions. Kyanite - staurolite - cordierite - bearing mica - schists are metamorphosed at pressure ~5 - 7 kbar and temperature ~650 ± 50 °C. Thermal gradient at the SMC is considered to be ~ 40 °C/km. This thermal gradient is similar to those from continent-continent collision settings.

Keywords: *metapelites, HT/MP Metamorphism, mineral chemistry, thermobarometry, Shahindezh Metamorphic Core (SMC).*



شیمی کانی و دما - فشار سنجی سنگهای رسی موجود در هسته دگرگون در دما بالا - فشار متوسط شاهیندز (SMC) شمال غرب ایران

منیر مجرد^۱ و ^۲، محسن مؤذن^۱، محسن مؤید^۱

۱- دانشکده علوم طبیعی، گروه زمین‌شناسی، دانشگاه تبریز

۲- دانشگاه آزاد اسلامی واحد ارومیه

پست الکترونیکی: mmodjarrad@yahoo.com

(دریافت مقاله ۱۰/۱۷/۱۳۸۵، نسخه نهایی ۴/۲/۱۳۸۶)

چکیده: با توجه به مطالعات ریزباقتفی، مشخص شده است که متاپلیت‌های هسته دگرگون شرق شاهیندز (SMC) دستخوش چند دگرگونی شده و حداقل دو فاز دگرگونی ناحیه‌ای (RM1, RM2) و یک فاز دگرگونی مجاورتی (CM) را تجربه کرده‌اند. طی فاز دگرگونی ناحیه‌ای نهایی (RM2) پورفیروبلاستهای شکل‌دار کیانیت، آندالوزیت، استارولیت، کردیریت، گارنت، و رشتلهای فیبرولیت در میکاشیستها به وجود آمده‌اند. دما- فشار سنجی این فاز با استفاده از روش‌های مختلف تعیین دما و فشار برای سنگهای رسی انجام شده است. دما‌سنج کاتیونی گارنت - بیوتیت و گارنت - کلریت دمای بیشینه 700°C را برای دگرگونی این سنگها نشان می‌دهد. همچنین با استفاده از دما- فشار سنجی از طریق قطع واکنشهای چندگانه تعادلی با استفاده از برنامه THERMOCALC میانگین دما و فشار دگرگونی برای شیسته‌های کیانیت - استارولیت - کردیریتدار $50^{\circ}\pm 15^{\circ}$ و $650^{\circ}\pm 7^{\circ}$ کیلوبار محاسبه شد. چنین دما و فشاری نشان دهنده شبیه زمین گرمایی 40°C در هر کیلومتر است که از سرشته‌های محیط‌های برخورد قاره - قاره‌ای است.

واژه‌های کلیدی: متاپلیت، دگرگونی نوع HT/MP، شیمی کانی، دما - فشار سنجی، و هسته دگرگون شاهیندز.

مقدمه
 (سنگهای آهکی و توده‌های نفوذی گرانیت‌وئیدی) و سنگهای آهکی الیگو- میوسن نیز در منطقه برونزد دارند. تا کنون مطالعه دقیقی در مورد سنگهای دگرگون SMC انجام نشده است. تنها مورد با اهمیت نقشه زمین‌شناسی منطقه است که از سوی سازمان زمین‌شناسی کشور تهیه شد [۱] که در آن به پاراژنز دقیق کانیها و مرز واحدهای لیتلولزی دقت نشده است. مطالعه جامع و گام به گام سنگهای دگرگون این ناحیه باید از توجه به بافت سنگها، روابط پاراژنتیک، آگاهی از تاریخچه دگرگونی و دگرگونی و برآورده دما و فشار دگرگونی با در نظر گرفتن ترکیب شیمیابی کانیها آغاز شود. انواع شیست واجد پورفیروبلاستهای کیانیت، آندالوزیت، کردیریت، استارولیت و

در این کار پژوهشی به سنگ نگاشت، روابط بافتی، شیمی کانی و دما- فشار سنجی بر پایه روش‌های مختلف در هسته دگرگون شاهیندز Metamorphic Core (SMC) پرداخته شده است. این منطقه در زون ایران مرکزی قرار دارد که سرشت آن وجود سنگهای قدیمی (برکامبرین و پالئوزوئیک) است. محدوده مورد مطالعه از جنوب و جنوب‌غرب با زون سنندج - سیرجان و از شمال و شرق با زون سهند - بزمان محاصره شده است. سنگهای آمفیبولیتی، گنیس و مرمر در منطقه وجود دارند که ظاهراً همزمان با سنگهای رسی دگرگون شده‌اند. به علاوه سنگهای جوان‌تر وابسته به کرتاسه

سنگهای پالئوزوئیک نادگرگون روی آن قرار دارند. فاز کوهزایی کاتانگائی در عربستان بنام حجاز و در حوالی دریاچه بایکال روسیه با نام بایکالین شناخته می‌شود. طی این فاز به طور کلی پوسته ایران دستخوش گسترش و بازشدگی بوده و آلکالی گرانیت و ریولیت به درون سنگهای دگرگون نفوذ کرده‌اند. چنین سنگهایی در SMC هم مشاهده می‌شوند. بر اثر عملکرد این فاز، پی سنگ پرکامبرین ایران، پاکستان، افغانستان، ترکیه، و عربستان به صورت تختگاه نسبتاً پایداری درآمده و دریای کم عمقی آنرا پوشانده است که تا اواخر پالئوزوئیک ادامه داشت [۸].

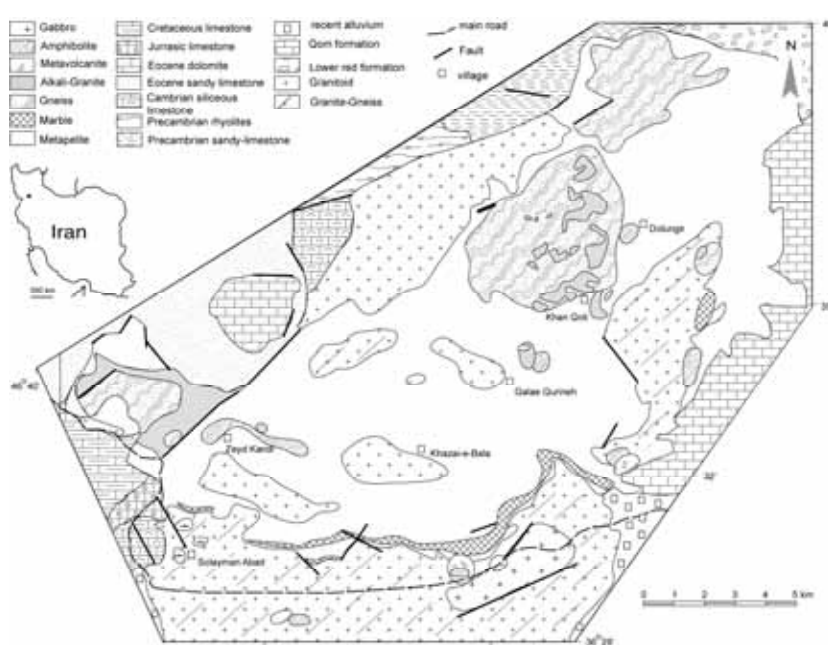
سنگ شناسی

سنگهای رسی بخش اعظم گستره SMC را تشکیل داده‌اند. (شکل ۱) این سنگها شیستوزیته نشان می‌دهند و دارای پورفیروبلاستهای کیانیت (شکل ۲a)، آندالوزیت، استارولیت (شکل ۲b)، کردیریت (شکل ۲c)، گارنت (شکل ۲d)، و نیز رشته‌های فیبرولیت در زمینه ریز دانه از کوارتز، بیوتیت، مسکوبیت، فلدسپار پتاسیم، پلاژیوکلاز (آلبیت) و کلریت هستند. پورفیروبلاستهای کیانیت، آندالوزیت و کردیریت در نمونه مکروскопی قابل مشاهده‌اند. اکسید فلزات، تورمالین، آپاتیت، زیرکن و گرافیت از کانیهای فرعی در این سنگها محسوب می‌شوند.

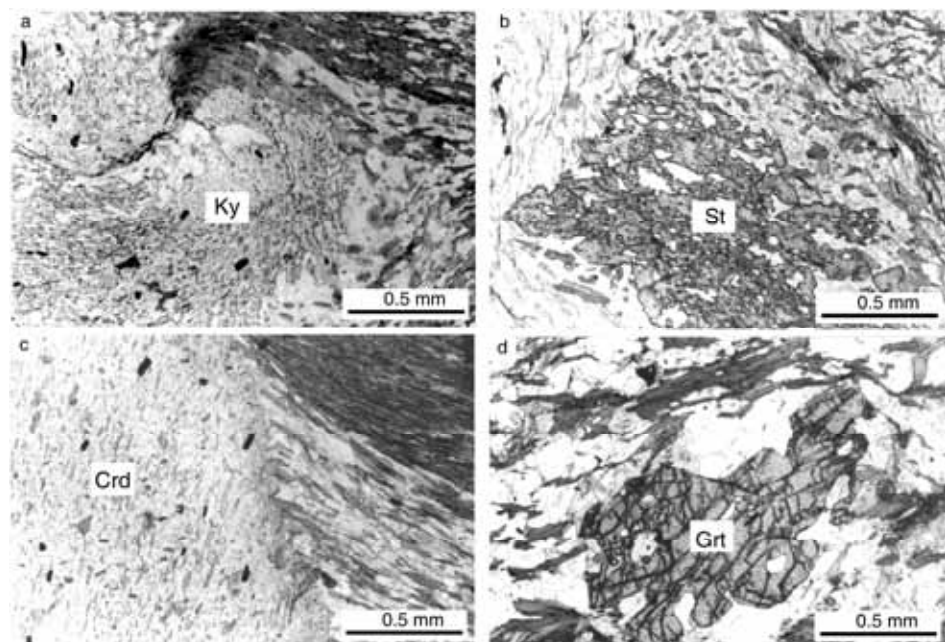
گارنت در منطقه دیده شده‌اند. در این مقاله سعی شده است با بررسی متاپلیت‌ها، علاوه بر تعیین تعداد فازهای دگرگونی عمل کننده بر روی رسی متابلیت‌ها، کانیهای در حال تعادل با هم تعیین شده و سپس با توجه به ترکیب شیمیائی کانیهای فرومیزین شرایط دما و فشاری دگرگونی اصلی ناحیه‌ای مشخص شود. تشابه پاراژنر کانیایی و مسیر PT برای متاپلیت‌های SMC با سنگهای دگرگون HT/L-MP قدیمی (پرکامبرین تا پالئوزوئیک) در هندوستان، مصر، فرانسه، و اسپانیا که در اثر برخورد قاره - قاره ایجاد شده‌اند، قابل توجه است (برای مثال [۲، ۳، ۴، ۵، ۶، ۷]).

زمین‌شناسی منطقه

سنگهای رسی دگرگون شده، قدیمی‌ترین واحد مشاهده شده در SMC هستند. این سنگها احتمالاً با واحدهای دگرگون تفکیک نشده در ایران مرکزی (پشت بادام) هم ارزند. کوهزایی بایکالین یا کاتانگائی در پرکامبرین پسین رخ داده و آثار آن را می‌توان در سنگهای پشت بادام، بافق، ترود، گلپایگان، موتله، تکاب، و ارومیه دید. بر اثر این کوهزایی سنگهای پروتروزوئیک و آرکئوزوئیک دستخوش گسل خوردگی، چین‌خوردگی و دگرگونی شده‌اند [۸]. در متون زمین‌شناسی ایران درجه دگرگونی این سنگها از شیست سبز تا آمفیبولیت ارزیابی شده است [۹، ۱۰، ۱۱، ۱۲]. به نظر می‌رسد که سنگهای دگرگون شرق شاهیندژ، سنی معادل پیش از پالئوزوئیک دارند، زیرا



شکل ۱ نقشه زمین‌شناسی ساده منطقه مورد مطالعه که با اعمال تغییراتی از خسروی [۱۶] اقتباس شده است. شهرستان شاهیندژ در غرب جاده اصلی بوده و در نقشه بالا قابل مشاهده نیست. منطقه مورد مطالعه در نقشه ایران به صورت چهارگوش سیاه نشان داده شده است.



شکل ۲ تصاویر میکروسکوپی در حالت PPL از میکاشیستهای دگرگون به صورت ناحیه‌ای. a. درشت بلور کیانیت. b. ایدیوبلاست استارولیت با ماکل صلیبی. c. پورفیروبلاست کردبریت با بافت پوئیکلیتیک. d. پورفیروبلاست گارنت.

$\text{Qtz} + \text{Pl} + \text{Bt} [\text{I}] \pm \text{Kfs} [\text{I}] \pm \text{Chl} [\text{I}] \pm \text{Ms} [\text{I}]$: RM2 فاز بیشتر پورفیروblastهای موجود در شیستهای منطقه پدید آمده‌اند: از جمله کیانیت، کردبریت، استارولیت، گارنت، و آندالوزیت. سنگهای حاوی این مجموعه سطح گسترده‌ای از آندالوزیت، کردبریت، استارولیت، و گارنت بیشترین کانیهای تشکیل دهنده این شیستهای هستند. پاراژنهای غالب عبارتند از:

$$\text{Qtz} + \text{Pl} + \text{Bt} [\text{II}] \pm \text{Ms} [\text{I}] + \text{And} [\text{II}] \pm \text{Ky} [\text{II}],$$

$$\text{Qtz} + \text{Pl} + \text{Bt} [\text{II}] \pm \text{Ms} [\text{I}] + \text{And} [\text{II}] \pm \text{St} [\text{II}],$$

$$\text{Qtz} + \text{Pl} + \text{Bt} [\text{II}] \pm \text{Ms} [\text{I}] \pm \text{Kfs} [\text{II}] + \text{Crd} [\text{II}],$$

$$\text{Qtz} + \text{Pl} + \text{Bt} [\text{II}] + \text{Grt} [\text{II}]$$

: CM فاز، آندالوزیت و کردبریتهای جدیدی که با کانیهای موجود در فاز قبلی متفاوتند و نیز فیبرولیت و گارنت پدید آمده اند. سنگهای واحد کانیهای CM، RM2 با هم کمتر دیده شده اند. در حالیکه به دلیل نوع واکنش سازنده فیبرولیت، این کانی در سنگهای تشکیل شده در RM2 و با کانیهای آن همراه است. سنگهای با کانیهای CM، مساحت کمی از منطقه را پوشش می‌دهند و بیشتر محدود به مناطق هم‌جوار با سنگهای آذرین

اغلب سنگهای رسی دگرگون در یک، دو، و یا سه روند، سمت گیری ترجیحی نشان می‌دهند. ابعاد پورفیروblastها در این سنگها گاه تا چند سانتیمتر نیز می‌رسد طول بیشتر آنها در حدود چند میلیمتر است. پورفیروblastهای کردبریت، گارنت، کیانیت، استارولیت و آندالوزیت موجود در متاپلیتها، بیشتر به صورت ایدیوبلاست هستند (شکل ۲). دو دسته فیبرولیت در این سنگها دیده شدند که با استناد به مشاهدات میکروسکوپی یکی از بیوتیت و دیگری با پیشرفت دگرگونی مجاورتی از آندالوزیت ایجاد شده است. علائم کانیها از [۱۳] گرفته شده‌اند.

چند دگرگونی

مطالعه روند اینکلوزنهای و ارتباط شیستوزیته متن سنگ با آن که نشان می‌دهد که در منطقه SMC حداقل دو فاز دگرگونی ناحیه‌ای و یک فاز دگرگونی مجاورتی رخ داده است. در این بخش به تفصیل این فازها را بررسی می‌کنیم.

: RM1 سنگهای ته نشستی به دنبال واکنشهایی به کلریت، مسکویت، و بیوتیت تبدیل شده‌اند. کلریت به دلیل مصرف شدن طی واکنشهای تشکیل بیوتیت، حجم اندکی دارد. در حالیکه بیوتیت و مسکویت به ترتیب فراوانترند. این پاراژنز تنها در برخی شیستهای بدون پورفیروblast منطقه محفوظ مانده است:

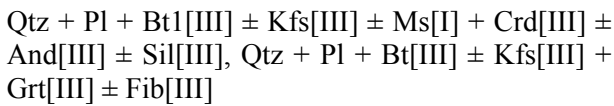
(احتمالاً سنگ مادر از منیزیم بسیار فقیر بوده است). مقدار Al(IV) از ۱۳۸۷ - ۱۰۸۳ و مقدار Al(VI) از ۰،۳۴ - ۰،۸۶۲ در تعییر است. مقدار TiO_2 در نمونه‌های گارنت دار بالاتر از نمونه‌های استارولیت‌دار و کردیریت‌دار است.

گارنت: این کانی در ۴ نمونه سنگی از منطقه SMC مورد بررسی قرار گرفت که از آلماندن غنی است (۸۶ - ٪۷۴). شکل ۴ ترکیب شیمیایی این کانی را در نمودار مثلثی پیروپ - گروسولار - آلماندن + اسپسارتین نشان می‌دهد. مقدار گروسولار و اسپسارتین آن کم است (گروسولار: ۰،۶ - ٪۲ و اسپسارتین: ٪۰،۷ - ٪۰،۵). مقدار پیروپ در این کانی تعییرات طیفی گسترده‌ای دارد ولی بیشتر در حد ٪۲۲ است. مسکویت: این کانی در دو نمونه آنالیز شد. متوسط مقدار کاتیون Si در این کانی ۳۰۳ به ازای ۲۲ اکسیژن است. فاکتور Al(IV) برابر ۰،۹۷ و Al(VI) برابر ۱۹۲ است. این کانی در نمونه‌های حاوی استارولیت ٪۷۶ از مسکویت و ٪۲۴ از پاراگونیت تشکیل شده و در نمونه‌های دارای استارولیت و کردیریت تا ٪۷۸ حاوی مسکویت است و پاراگونیت آن فقط ٪۱۳ است. مقدار Al_2O_3 این کانی به ٪۳۷/۵ می‌رسد.

کلریت: دو نمونه از سنگهای رسی منطقه کلریت مورد تجزیه شیمیایی قرار گرفتند. کسر مولی منیزیم برای این کانی ۰،۵۵ - ۰،۴۹ است. بر اساس طبقه‌بندی [۱۴] Hey کلریت موجود در نمونه کردیریت دار از نوع ریبدولیت بوده و در نمونه گارنت دار از نوع پینوکلریت است و Si بیشتری دارد (شکل ۵). فعالیت دفتایت در کلریت نمونه گارنت‌دار بالاست، در حالیکه در نمونه کردیریت‌دار، کلریت از کلینوکلر و امسایت غنی‌تر است و دفتایت فعالیت پائینی داشته است. کاتیون Si از ٪۲۹ - ٪۲۷ تغییر می‌کند. مقدار Al در نمونه‌های کردیریت‌دار بیشتر و در نمونه‌های گارنت‌دار کمتر است. مقدار منگنز در کلریت نمونه کردیریت‌دار برابر ٪۰،۰۲ و در نمونه گارنت‌دار کمتر است ٪۰،۰۶. سدیم در کلریتهای SMC صفر یا در حد چشم پوشی است.

کردیریت: این کانی در دو نمونه سنگی تجزیه شدند. ترکیب شیمیایی در هر دو نمونه برای کردیریت یکنواخت بوده و ٪۶۵ تا ٪۷۳ از MgCrd و ٪۰،۱ تا ٪۰،۲۵ از MnCrd تشکیل شده است. فراوانی کاتیون Fe^{2+} در این کانی apfu به ازای ۰،۰۵ اکسیژن است.

جوان هستند. از لحاظ فراوانی، کردیریت بیشتر از همه و گارنت بسیار کم متببور شده است. پارازنهای غالب عبارتند از:



همچنین طی این فاز، کلریت و مسکویتهای جدیدی پدید آمده‌اند که کاملاً متمایز از کانیهای تشکیل شده در RM1 هستند [Chl[III], Ms[III]]. بعلاوه بیشتر مسکویت و کلریت مربوط به RM1 تا این مرحله مصرف شده‌اند. معمولاً هر کدام این کانیها به تنها‌ی در هر دو گروه سنگهای دارای کانیهای RM2 و RM1 دیده می‌شوند.

دگرسانی

در دگرگونی قهقرایی استارولیت به مسکویت، گارنت و کردیریت به کلریت، و بعضی آلومینوسیلیکاتها به مجموعه شیمر (Shimmer aggregate = ephesite + paragonite) دگرسان شده‌اند. تبدیل استارولیت fine grain micaceous) و کردیریت بیشتر بوده است و اشکال دروغینی از مسکویت و کلریت به وجود آورده است. در حالیکه معمولاً هسته‌های سالم گارنت با حاشیه کلریتی و آلومینوسیلیکاتهایی که در مرکز به کانیهای رسی تجزیه شده و حاشیه سالمی دارند، در منطقه فراوانند.

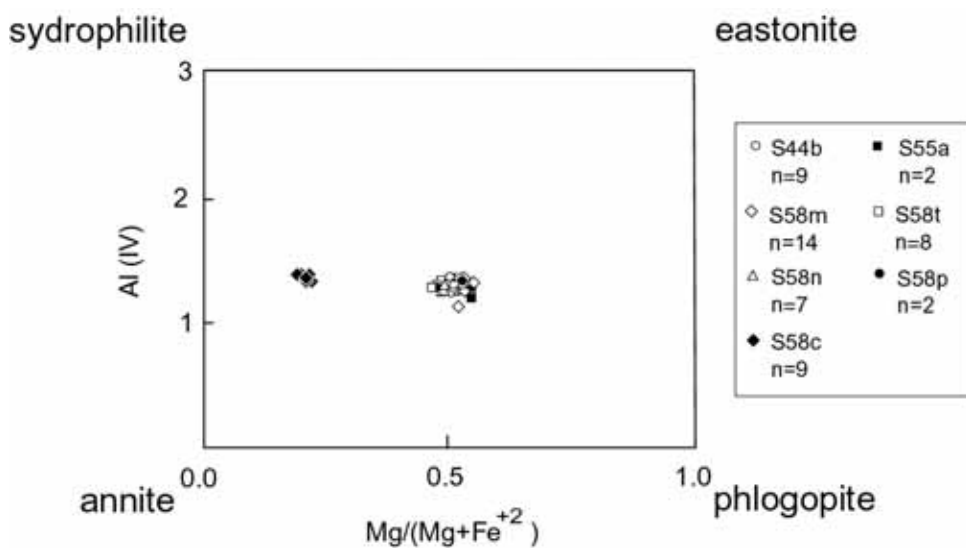
شیمی کانی

روش تجزیه: تجزیه‌های شیمیایی با یک دستگاه ریز پردازندۀ نوع Cameca SX100 در گروه زمین‌شناسی دانشگاه پتسدام آلمان صورت گرفته است. برای مقایسه از استانداردهای طبیعی و مصنوعی استفاده شد، و تصحیح PAP صورت گرفت. فرمول کانیها برای گارنت بر اساس ۱۲ اکسیژن، مسکویت و بیوتیت ۲۲ اکسیژن، کلریت ۱۴، استارولیت ۰،۴۶، کردیریت ۱۸، پلازیوکلاز ۸، و ایلمنیت بر پایه ۳ اکسیژن محاسبه شده است. نسبت Fe^{3+}/Fe^{2+} بر اساس عنصر سنجی و با استفاده از برنامه کامپیوتی AX تعیین شد (ftp://www.esc.cam.ac.uk/pub/minps/AX). در جدول ۱ داده‌های ریز پردازش معرف برای هر کانی خلاصه شده است.

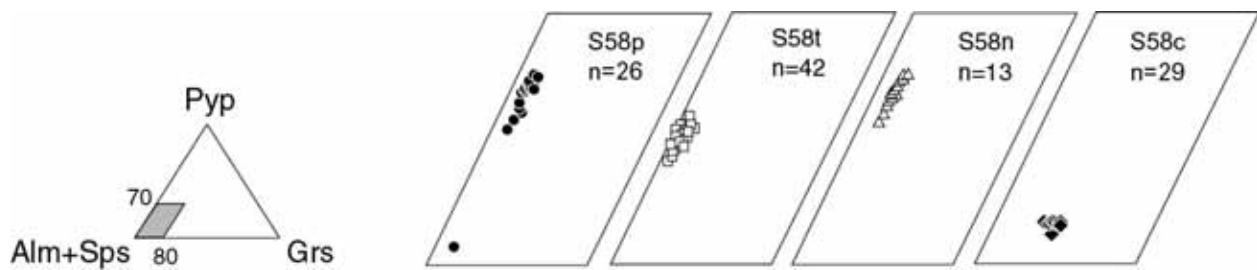
بیوتیت: این کانی در ۷ نمونه سنگی تجزیه شدند. کسر مولی منیزیم برای ۶ نمونه ٪۰،۴۵ - ٪۰،۵۷ است. ولی برای یک نمونه این مقدار ٪۰،۰۲ است (شکل ۳). این همان نمونه‌ای است که کمترین مقدار پیروپ را داشته و دارای بیشترین مقدار انایت است

جدول ۱ خلاصه داده‌های حاصل از آنالیز نقطه‌ای کانیها. تنها یک تجزیه معرف بعلاوه تعداد تجزیه‌های انجام شده در این کار پژوهشی، برای تدوین در مقاله ارائه شده‌اند.

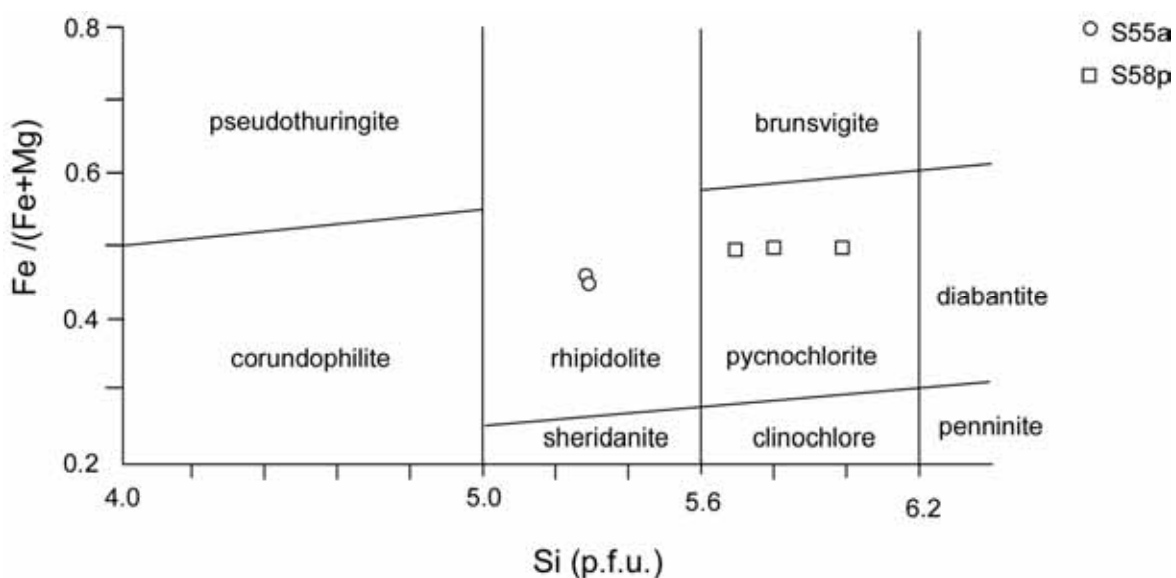
	استارولیت تعداد=۱۳	کلریت تعداد=۵	کردیریت تعداد=۳۱	ایلمنیت تعداد=۶	گارنت تعداد=۱۰۸	مسکویت تعداد=۳	بیوتیت تعداد=۵۸	پلازیوکلاز تعداد=۶۶
SiO ₂	۲۷,۷۰	۲۵,۴۱	۴۸,۸۷	۰,۰۵	۳۷,۳۳	۴۵,۷۰	۳۶,۰۰	۶۶,۲۷
TiO ₂	۰,۵۰	۰,۱۱	۰,۰۱	۵۲,۹۴	۰,۰۳	۰,۴۳	۱,۸۱	۰,۰۱
Al ₂ O ₃	۵۳,۳۳	۲۲,۱۹	۳۲,۵۳	۲,۲۰	۲۱,۷۹	۳۷,۴۹	۲۰,۱۰	۲۱,۴۶
Cr ₂ O ₃	۰,۱۶	۰,۰۴	۰,۰۱	۰,۰۲	۰,۰۱	۰,۰۰	۰,۰۷	۰,۰۰
FeO	۱۳,۳۴	۲۳,۴۸	۵,۹۶	۴۱,۸۵	۳۳,۷۰	۰,۷۸	۱۷,۴۱	۰,۰۰
Fe ₂ O ₃	۰,۰۰	۰,۰۰	۱,۶۶	۰,۰۰	۱,۳۲	۰,۰۰	۰,۰۰	۰,۰۰
MnO	۰,۴۱	۰,۱۹	۰,۵۱	۲,۰۱	۰,۴۴	۰,۰۱	۰,۱۲	۰,۰۰
MgO	۱,۸۷	۱۵,۲۹	۸,۹۶	۰,۲۰	۵,۴۷	۰,۳۷	۱۰,۷۳	۰,۰۰
CaO	۰,۰۰	۰,۰۲	۰,۰۰	۰,۰۴	۰,۶۰	۰,۰۷	۰,۰۲	۱,۳۲
Na ₂ O	۰,۱۸	۰,۰۰	۰,۲۱	۰,۰۰	۰,۰۰	۱,۶۸	۰,۳۶	۱۱,۱۷
K ₂ O	۰,۰۰	۰,۰۴	۰,۰۳	۰,۰۰	۰,۰۰	۸,۲۸	۸,۴۲	۰,۰۹
ZnO	۰,۴۶							
Total	۹۷,۸۵	۸۷,۷۷	۹۹,۷۵	۹۹,۳۴	۱۰۰,۶۹	۹۴,۸۲	۹۵,۰۵	۱۰۰,۴۰
Si	۷,۷۲۳	۲,۶۴۱	۴,۹۴۴	۰,۰۰۱	۲,۹۴۵	۳,۰۱۸	۲,۶۹۸	۲,۸۹۹
Ti	۰,۱۰۵	۰,۰۰۹	۰,۰۰۱	۰,۹۹۰	۰,۰۰۲	۰,۰۲۱	۰,۱۰۲	۰,۰۰۰
Al	۱۷,۵۲	۲,۸۴۲	۳,۹۹۹	۰,۰۶۴	۲,۰۲۷	۲,۹۱۹	۱,۷۷۶	۱,۱۰۷
Cr	۰,۰۱۳	۰,۰۰۳	۰,۰۰۱	۰,۰۰۰	۰,۰۰۱	۰,۰۰۰	۰,۰۰۴	۰,۰۰۰
Fe ²⁺	۳,۱۱۰	۲,۰۴۱	۰,۵۰۴	۰,۸۷۰	۲,۲۲۴	۰,۰۴۳	۱,۰۹۱	۰,۰۰۳
Fe ³⁺	۰,۰۰۰	۰,۰۰۰	۰,۱۲۶	۰,۰۰۰	۰,۰۷۸	۰,۰۰۰	۰,۰۰۰	۰,۰۰۰
Mn	۰,۰۹۷	۰,۰۱۷	۰,۰۴۴	۰,۰۴۲	۰,۰۲۹	۰,۰۰۱	۰,۰۰۸	۰,۰۰۰
Mg	۰,۷۷۷	۲,۳۶۹	۱,۳۵۱	۰,۰۰۷	۰,۶۴۳	۰,۰۳۶	۱,۱۹۹	۰,۰۰۰
Ca	۰,۰۰۰	۰,۰۰۲	۰,۰۰۰	۰,۰۰۱	۰,۰۰۱	۰,۰۰۵	۰,۰۰۲	۰,۰۶۲
Na	۰,۰۹۷	۰,۰۰۰	۰,۰۴۱		۰,۰۰۰	۰,۲۱۵	۰,۰۵۲	۰,۹۴۷
K	۰,۰۰۰	۰,۰۰۰۵	۰,۰۰۴		۰,۰۰۰	۰,۶۸۹	۰,۸۰۶	۰,۰۰۰
Zn	۰,۱۰۰	۰,۰۰۰						
X _{Mg}	۰,۱۹۹	۰,۵۳۷						
X _{Zn}	۰,۱۲۴							
X _{Mn}	۰,۰۲۴							
MgCrd			۰,۷۳					
MnCrd			۰,۰۲۳					
Hem				۰,۰۰۰				
Ilm				۰,۹۵۴				
MnIlm				۰,۰۴۶				
X _{Alm}					۰,۷۵۵			
X _{Sps}					۰,۰۱			
X _{Py}					۰,۲۲			
X _{Grs}					۰,۰۲			
Al ^{IV}						۰,۹۸۲	۱,۳۰۲	
Al ^{VI}						۱,۹۳۷	۰,۴۷۴	
X _{Mg}						۰,۴۶	۰,۵۲۴	
Ms						۰,۷۶		
Pa						۰,۲۴		
X _{An}							۰,۰۶	
X _{Ab}							۰,۹۴	



شکل ۳ توزیع ترکیب بیوتیتهای آنالیز شده از شیستهای SMC. بجز یک نمونه، ترکیب بقیه بیوتیتها مشابه است.



شکل ۴ ترکیب شیمیایی گارنتهای SMC که همگی از آلماندن غنی هستند.



شکل ۵ ترکیب شیمیایی کلریت در نمودار طبقه بندی کلریتها [۱۴]. عضو نهایی ریدولیت و پینوکلریت در شیستهای SMC وجود داشته است.

THERMOCALC [۱۷] در برنامه Holland and Powell [۱۸] در حالت دما و فشار میانگینی [۱۹، ۲۰] انجام (v. 2.4) گرفته است. ترکیب فعالیت اعضای نهایی کانیها و نیز نسبت AX با برنامه $\text{Fe}^{3+}/\text{Fe}^{2+}$ در دمای تخمینی اولیه محاسبه Van Laar شدند. در این برنامه فعالیت میکائی سفید از مدل [۲۰] و بیوپیت از مدل اختلاط ایده آل سایت A1 M1 محاسبه شده‌اند. این برنامه برای استارولیت اختلاط ایده آل در ۴ سایت را در نظر گرفته و برای به دست آوردن فعالیت اعضای Max ratio نهایی کردیریت، بدون در نظر گرفتن آب و نسبت H_2O برابر ۰/۲ عمل می‌کند. در این محاسبات همواره فرض بر این است که شاره خالص با ترکیب H_2O برای همه مجموعه‌ها در اختیار بوده است. در این محاسبه سعی شده است انحراف از معیار برای فشار بیش از ۱/۵ کیلوبار و برای دما بیش از ۷۰ درجه سانتیگراد نباشد. بعلاوه از روش‌های تبادل کاتیونی برای تعیین دما در نمونه‌های گارنت دار استفاده شد. روش گارنت - بیوپیت [۲۱] و گارنت - کلریت [۲۲] روش‌های مورد استفاده برای این منظور بوده‌اند. در این مورد سعی شد که بیوپیتها موجود در زمینه و مجاور گارنت‌ها استفاده شود. جدول ۲ فعالیت معرف و میانگین اعضای نهایی کانیها را که در محاسبات برنامه THERMOCALC بکار رفته، نشان می‌دهد. دماستنجی کاتیونی گارنت - بیوپیت و گارنت - کلریت بر روی چهار نمونه از منطقه SMC بکار بسته شد. داده‌های مربوط به تجزیه ریز پردازنده از مرکز گارنت دمای بیشینه ۷۳۰ - ۶۶۵ درجه سانتیگراد، و نتیجه دماستنجی گارنت - کلریت نیز دمای ۶۳۰ - ۷۳۰ درجه سانتیگراد را برای مرکز گارنت نشان می‌دهد.

نتایج دما- فشارسنجی با برنامه THERMOCALC برای نمونه‌های کیانیت-کردیریت-استارولیت شیست SMC فشار بشینه $1/5 \pm 7/2$ - $5/2$ کیلوبار و دمای 60 ± 670 تا 600 درجه سانتیگراد را نشان می‌دهد. شکل ۶ نتیجه دما- فشار سنجی کاتیونی و منحنی‌های تعادلی چند گانه را با رسم بیضی خطأ نشان می‌دهد.

استارولیت: در دو نمونه سنگی تجزیه شده است. کسر مولی استارولیت منیزیم دار $16/3 \pm 20$ ٪، استارولیت منگنزدار $2/2 \pm 2/4$ ٪ و استارولیت روی دار $4/3 \pm 4/4$ ٪ است. فراوانی ZnO در این کانیها در حدود $0/05$ ٪، و کسر مولی منیزیم از $17/0 \pm 2/0$ در تغییر است.

پلازیوکلاز: این کانی در ۶ نمونه تجزیه شد. این کانی از آلبیت غنی و در حد الیگوکلاز است (An 4-20Ab 72-95). بالاترین مقدار آنورتیت در نمونه گارنت‌دار است که گارنت آن از گروسو لار و آلماندن غنی است. بیشترین مقدار آلبیت در نمونه‌های کردیریت‌دار دیده شده است.

آلومینوسیلیکات‌ها: این دسته از کانیها در دو نمونه آنالیز شدند. فراوانی SiO_2 برابر $37/52 \pm 36/74$ ٪ است. مقدار آلومینیوم $44/44 \pm 63/02$ ٪ است. مقدار FeO از $0/89 \pm 0/20$ در تغییر است. فراوانی MgO در این کانیها در حدود $10/1 \pm 10/1$ ٪ است.

ایلمنیت: این کانی در دو نمونه مورد آنالیز قرار گرفته است. کانیهای کدر در متاپلیت‌های SMC از نوع ایلمنیت هستند (۹۷٪). مقدار اندکی هماتیت ($0/0 \pm 0/3$) و منگنز ایلمنیت ($1/1 \pm 5$) در این کانی وجود دارد.

دما- فشار سنجی دگرگونی ناحیه‌ای

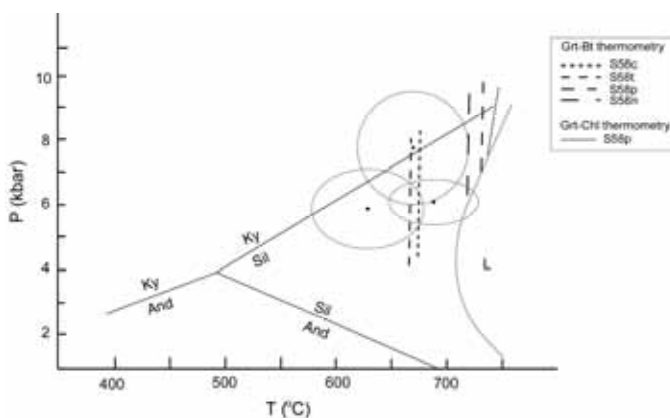
به کار بستن روش‌های ترمودینامیکی برای پاراژنهای تعیین شده به صورت بافتی (میکروسکوپی)، مبنای دما- فشار سنجی بوده است. در انتخاب کانیها به عنوان پاراژن در حال تعادل دقیق شده است (برای مثال [۱۵، ۱۶]).

به طور کلی در مورد هفت نمونه از سنگهای دگرگون SMC دما- فشار سنجی کاتیونی، و نیز برخورگاه منحنی‌های تعادل چندگانه انجام گرفته است. برای پیشگیری از بروز خطای ناشی از میانگین گیری ترکیب کانیها در تعیین دما و فشار بر اساس بردارهای جانشینی فرومیزین و چرمک، به کمینه و بیشینه ترکیبی کانیهای در حال تعادل توجه شده است. به خصوص در مورد پورفیروبلاست گارنت به خاطر ثبت مراحل دگرگونی پسروندۀ به ترکیب مرکز و حاشیه‌ها دقیق شده و از ترکیب مرکز برای تعیین دمای بیشینه استفاده شد.

دما- فشار سنجی سه نمونه از SMC با استفاده از روش قطع واکنش‌های تعادلی چندگانه و داده‌های ترمودینامیکی

جدول ۲ خلاصه فعالیت کانیها در دما - فشار سنجی توسط برنامه THERMOCALC

نام کانی	میانگین فعالیت اعضای نهایی کانیها	تعداد تجزیه
فلوگوبیت	۰,۰۵۲	۲۵
آنیت	۰,۰۳۳	
استونیت	۰,۰۵۵	
مسکوبیت	۰,۷۲	۳
پاراگونیت	۰,۸۳	
سلادونیت	۰,۰۰۷۵	
کلینوکلر	۰,۰۳۸	۲
دفیت	۰,۰۱۶۸	
امسیت	۰,۰۳۸۵	
استارولیت منیزیم دار	۰,۰۰۱۹	۱۳
استارولیت آهن دار	۰,۴۰	
کردبریت	۰,۴۹	۱۸
کردبریت آهن دار	۰,۱۱	
کردبریت منگنز دار	۰,۰۰۵۵	
آلبیت	۰,۸۶	۱۱
آنورتیت	۰,۲۳	
کیانیت	۱	
کوارتز	۱	



شکل ۶ نمودار دما و فشار که نتایج دما- فشار سنجی تبادل کاتیونی و تعادل چندگانه را که با برنامه THERMOCALC محاسبه شده است، نشان می‌دهد. بیضوی خط پیرامون نقاط دما و فشار تخمینی ترسیم شده است.

Rajpura-Dariba در شمالغرب هند [۶]، کمربند دگرگونی Taba در صحراي سينا در مصر [۷]، متاپليتيهای هرسی نین Bosost Canigou فرانسه [۵]، متاپليتيهای واريسکن پایانی dome پیرنه مرکزی [۳]، سنگهای دگرگون هرسی نین Velay Dome ماسیو سانترال فرانسه [۲]، و متاپليتيهای HT-L-MP واريسکن شمالشرق Iberia اسپانیا [۴] است. همه این سرزمهنهای دگرگون در اثر برخورد قاره - قاره حاصل شده‌اند و از نوع HT/MP محسوب می‌شوند.

تشکر و قدردانی

بدینوسیله از پروفسور P. O'Brien استاد دانشگاه پتسدام آلمان و پروفسور D. Whitney استاد دانشگاه مینه سوتای

برداشت

نتایج دما- فشار سنجی با قطع واکنشهای تعادلی چندگانه، نشان دهنده دگرگونی دمای بالا / فشار پائین تا میانگین SMC (HT/L-MP) برای سنگهای این منطقه با برنامه ترمومالک برابر ۵ تا ۷ کیلوبار در حدود ۶۵۰ °C محاسبه شدند. دمای بیشینه دگرگونی با استفاده از روش گارنت - بیوتیت و گارنت - کلریت از مرکز گارنتهای در چهار نمونه، در حدود ۷۰۰ °C محاسبه شد. شبیه زمین گرمائی SMC در حدود ۴۰ °C در کیلومتر برآورد شد که با مشخصات محیط برخوردگاه قاره - قاره پرازش دارد. دما و فشار به دست آمده و نیز پاراژنر کانیایی در SMC مشابه موارد گزارش شده از سنگهای دگرگون میزان ماسیو سولفاید

- [12] Berberian M., "A brief geological description of north-central Iran. In materials for the study of seismotectonics of Iran: North-Central Iran", Geol. Surv. Iran, Rep 29 (1974) 127-138.
- [13] Kretz R., "Symbole for rock-forming minerals", Am Mineral 68 (1983) 277-279. [5]
- Bhattacharya A., Mohanty L., Maji A., Sen S.K., Raith M., "Non-ideal mixing in the phlogopite-annite binary: constraints from experimental data on Mg-Fe partitioning and a reformulation of the biotite-garnet geothermometer", Contrib Mineral Petrol 111(1992) 87-93.
- [14] Hey M.H., "A new review of the chlorites", Min Mag 30 (1954) 277-292.
- [15] Droop G.T.R., Bucher-Nurminen K., "Reaction textures and metamorphic evolution of sapphirine-bearing granulites from the Gruf Complex, Italian Central Alps", J Petrol 25 (1984) 766-803.
- [16] Dale J., Holland T. J. B., "Geothermobarometry, P-T paths and metamorphic field gradients of high-P rocks from the Adula Nappe, Central Alps", J Metamorph Geol 21 (2003) 813-829.
- [17] Holland T.J.B., Powell R., "An internally consistent thermodynamic dataset for phase of petrological interest", J Metamorph Geol 16 (1998) 309-343.
- [18] Powell R., Holland T.J.B., "An internally consistent thermodynamic dataset with uncertainties and correlation: 3. Application to geobarometry, worked examples and computer program", J Metamorph Geol 6 (1988) 173-204.
- [19] Powell R., Holland T.J.B., "Optimal geothermometry and geobarometry", Am Mineral 79 (1994) 120-133.
- [20] Coggon R., Holland T.J.B., "Mixing properties of phengitic micas and revised garnet-phengite thermobarometers", J Metamorph Geol 20 (2002) 683-696.
- [21] Bhattacharya A., Mohanty L., Maji A., Sen S.K., Raith M., "Non-ideal mixing in the phlogopite-annite binary: constraints from experimental data on Mg-Fe partitioning and a reformulation of the biotite-garnet geothermometer", Contrib Mineral Petrol 111(1992) 87-93.
- [22] Grambling J., "Internally-consistent geothermometry and H_2O barometry in metamorphic rocks: the example garnet-chlorite-quartz", Contrib Mineral Petrol 105 (1991) 617-628.

آمریکا به دلیل راهنمایی‌های ارزنده علمی تشكر می‌کنیم. تجزیه‌های شیمیایی مورد استفاده در این مقاله در مرکز تحقیقات GFZ پتسدام آلمان صورت گرفته است. از اینرو از دکتر Rhede و خانم Appelt در مرکز تحقیقات GFZ آلمان به خاطر کمکهایشان در این امر سپاسگزاریم.

مراجع

- [1] Khasragi K., Eghlimi, M.H., Amini Azar R., Alavi-Naini M., "Geological map of Sahindezh 1:100000", Geol Surv. Iran. No. 5363 (1994).
- [2] Barbey P., Macaudiere J., Marignac C., Jabbori J., "Sillimanite concentrations in the southern Velay Dome and Late Hercynian P-T-t evolution in the French Massif Central", CR Geoscience 337 (2005) 872-879.
- [3] Mezger J., Passchier C.W., Regnier J.L., "Metastable staurolite-cordierite assemblage of the Bossost dome: Late Variscan decompression and polyphase metamorphism in the Axial Zone of the central Pyrenees", C R Geoscience 336 (2004) 827-837.
- [4] Estrada J.R., Martinez F.J., "Evolution of bulk composition, mineralogy, strain style and fluid flow during an HT-LP metamorphic event: sillimanite zone of the Catalan Coastal Ranges Variscan basement, NE Iberia", Tectonophysics 348 (2002) 111-134.
- [5] Azamber B., Guitard G., "Kyanite and staurolite-bearing Hercynian metapelites from the Canigou (eastern Pyrenees, France)", Earth and Planetary Sciences 333 (2001) 601-609.
- [6] Mishra B., Upadhyay D., Bernhardt H.J., "Metamorphism of the host and associated rocks at the Rajpura-Dariba massive sulfide deposit, Northwestern India", Journal of Asian Earth Sciences (in press) 2005.
- [7] El-Enen M.M.A., Will T.M., Okrusch M., "P-T evolution of the Pan-African Taba metamorphic belt, Sinai, Egypt: Constraints from metapelitic mineral assemblages", J African E Sci 38 (2004) 59-78.
- [8] Darvish zadeh A., "Geology of Iran", Amirkabir press (1990) 901p.
- [9] Alavi-Naini M., Amidi S.M., "Geology of western parts of Takab Quadrangle", Geol. Sur. Iran. Note no 49 (1968), 98p.
- [10] Haghipour A., "Etude géologique de la région de Biabanak-Bafq (Iran Central); petrologie et tectonique du precambrien et de sa couverture", These, université scientifique et medicale de Grenoble, France (1974) 403p.
- [11] Nabavi M.H., "Geology of Iran", Geol. Surv. Iran (1975) 109p.